

Multiples Testen

-Graphische Prozeduren-

Dr. Martin Scharpenberg

MSc Medical Biometry/Biostatistics

WiSe 2019/2020

Idee: α -Recycling

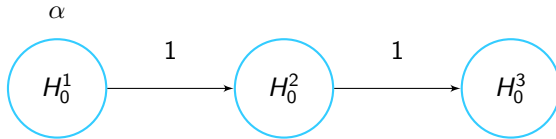
Notation

- Nullhypothesen H_0^1, \dots, H_0^h
- p_1, \dots, p_h : elementare p-Werte
- $\alpha = (\alpha_1, \dots, \alpha_h)$: anfängliche Zuordnung des Niveaus $\alpha = \sum_{i=1}^h \alpha_i$

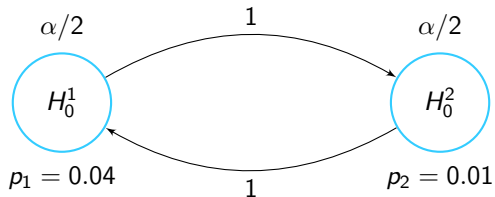
“ α -Recycling”

1. Wenn eine Hypothese H_0^i verworfen wird, verteile ihr Niveau α_i auf andere noch nicht verworfene Hypothesen (einer bestimmten Regel folgend)
2. Teste mit den so erhaltenen Niveaus
3. Gehe zu Schritt 1 bis keine Hypothesen mehr verworfen werden können

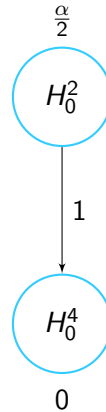
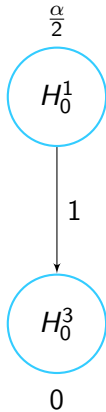
Hierarchischer Test



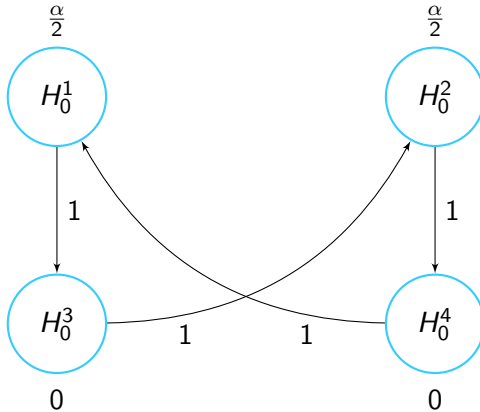
Bonferroni-Holm-Test ($k=2$, $\alpha=0.025$)



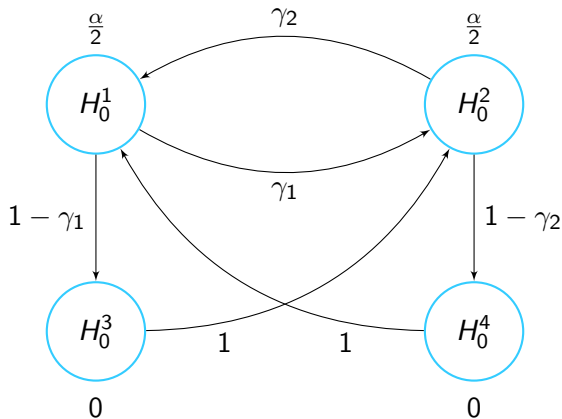
Einfaches paralleles Gatekeeping



Verbessertes paralleles Gatekeeping



Mehr Gewicht auf die primären Endpunkte



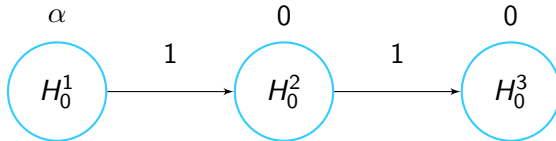
Definition der Prozedur

Allgemeine Definition

- $\alpha = (\alpha_1, \dots, \alpha_h)$, $\sum_{i=1}^h \alpha_i = \alpha$, anfängliche Niveaus
- $\mathbf{G} = (g_{ij}) : h \times h$ Transitions-Matrix
 g_{ij} mit $0 \leq g_{ij} \leq 1$, $g_{ii} = 0$ und $\sum_{j=1}^h g_{ij} = 1$ für alle $i = 1, \dots, h$.
- g_{ij} , Anteil des Niveaus für H_0^i das nach H_0^j geschoben wird
- \mathbf{G} bestimmt den Graphen vollständig
- \mathbf{G} und α bestimmen den multiplen Test

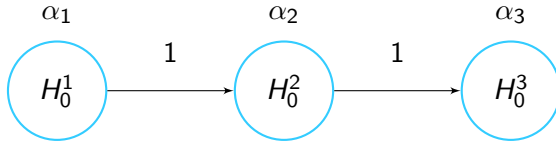
Hierarchischer Test

$$\alpha = (\alpha, 0, 0), \quad \mathbf{G} = \begin{pmatrix} 0 & 1 & 0 \\ 0 & 0 & 1 \\ 0 & 0 & 0 \end{pmatrix}$$



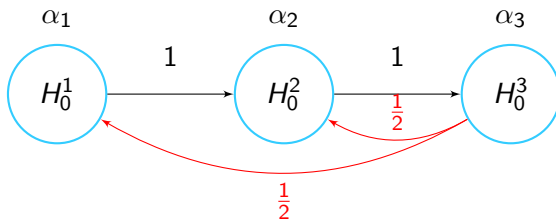
Fallback Procedure (Wiens, 2003)

$$\alpha = (\alpha_1, \alpha_2, \alpha_3), \quad \mathbf{G} = \begin{pmatrix} 0 & 1 & 0 \\ 0 & 0 & 1 \\ 0 & 0 & 0 \end{pmatrix}$$



Improved Fallback Procedure (Wiens & Dmitrienko, 2005)

$$\alpha = (\alpha_1, \alpha_2, \alpha_3), \quad \mathbf{G} = \begin{pmatrix} 0 & 1 & 0 \\ 0 & 0 & 1 \\ \frac{1}{2} & \frac{1}{2} & 0 \end{pmatrix}$$



Testprozedur

Definiere $J = \{1, \dots, h\}$

1. Setze $j = \operatorname{argmin}_{i \in J} p_i / \alpha_i$
2. Wenn $p_j \leq \alpha_j$ verwirfe H_0^j und gehe zu 3.
Ansonsten stoppe und akzeptiere alle H_0^i , $i \in J$.
3. Aktualisiere den Graphen:

$$J \rightarrow J / \{j\}$$

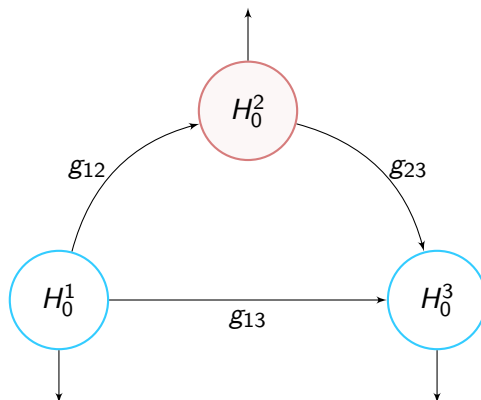
$$\alpha_\ell \rightarrow \begin{cases} \alpha_\ell + \alpha_j g_{j\ell}, & \ell \in J \\ 0, & \text{sonst} \end{cases}$$

$$g_{\ell k} \rightarrow \begin{cases} \frac{g_{\ell k} + g_{\ell j} g_{j k}}{1 - g_{\ell j} g_{j \ell}}, & \ell, k \in J, \ell \neq k, g_{\ell j} g_{j \ell} < 1 \\ 0, & \text{sonst} \end{cases}$$

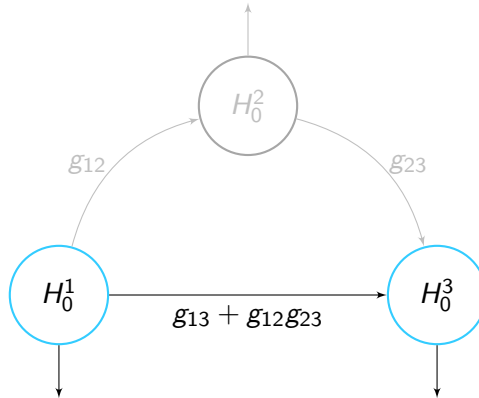
Konvention: Wenn kein Pfeil von H_0^j nach H_0^l , dann $g_{j l} = 0$.

4. Gehe zu Schritt 1.

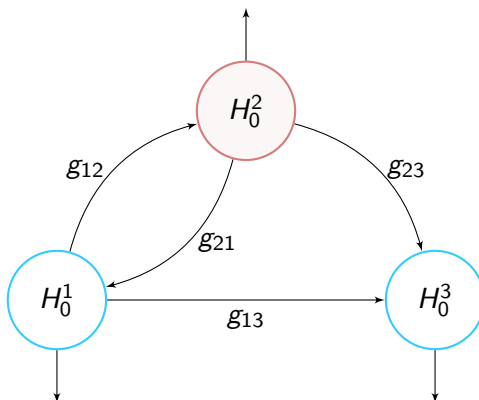
Aktualisierung des Graphen – Fall 1



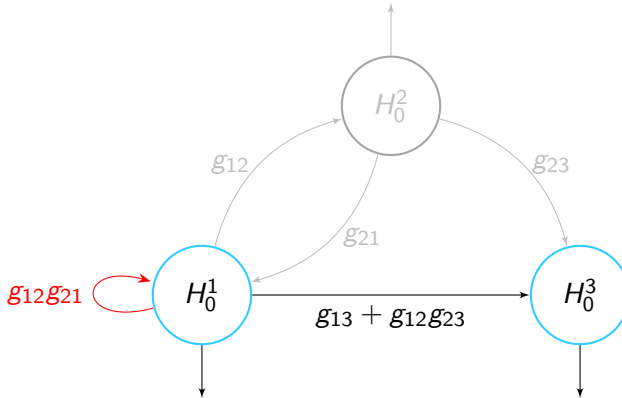
Aktualisierung des Graphen – Fall 1



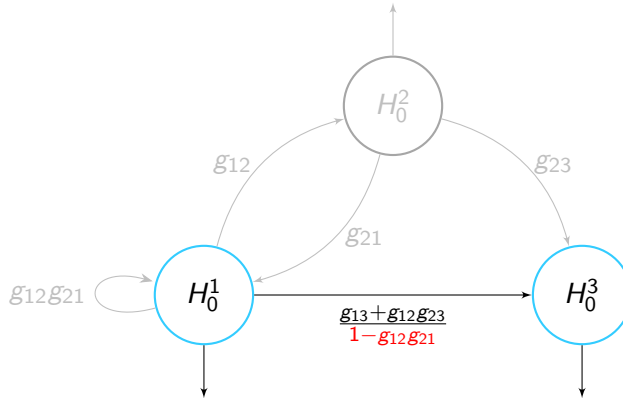
Aktualisierung des Graphen – Fall 2



Aktualisierung des Graphen – Fall 2



Aktualisierung des Graphen – Fall 2



Kontrolle der FWER

Satz.

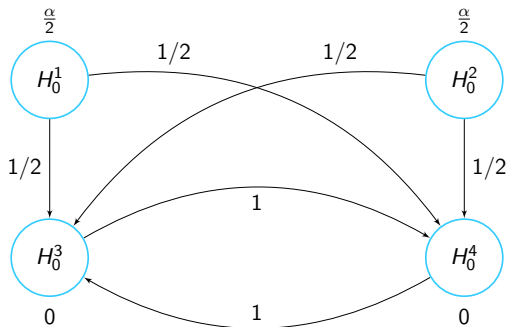
Die Anfangsniveaus α , die Transitions-Matrix \mathbf{G} und der Algorithmus definieren eindeutig eine multiple Testprozedur, die die FWER stark auf dem Niveau α kontrolliert.

Beweiskizze:

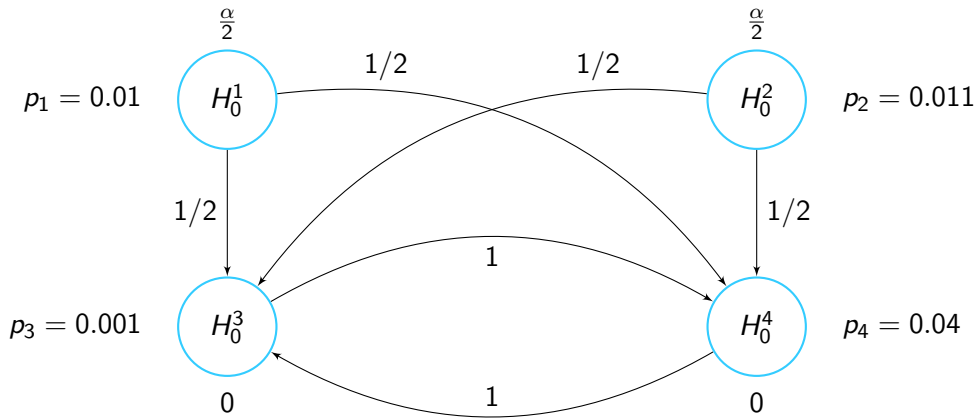
- Der Graph und der Algorithmus definieren einen lokal konsonanten verallgemeinerten Bonferroni- Abschluss-Test
- Der Algorithmus ist die Abkürzung des entsprechenden Abschlusstests

Paralleles Gatekeeping nach Dmitrienko et al. (2003)

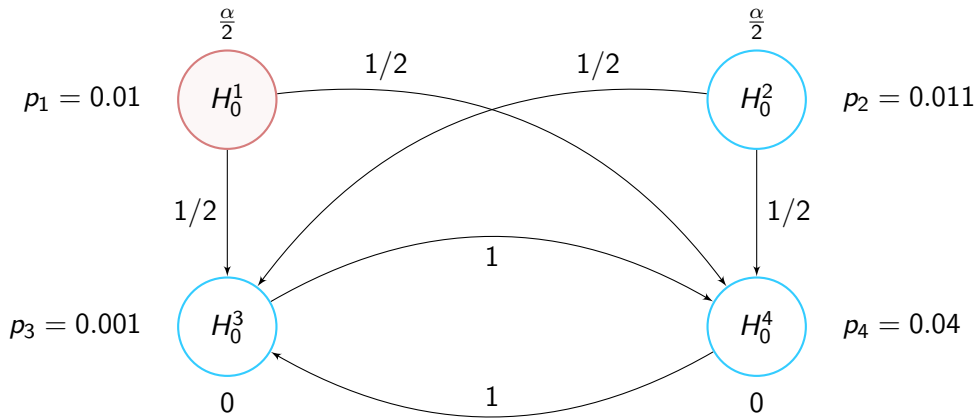
$$\alpha = \left(\frac{\alpha}{2}, \frac{\alpha}{2}, 0, 0 \right), \quad \mathbf{G} = \begin{pmatrix} 0 & 0 & 0.5 & 0.5 \\ 0 & 0 & 0.5 & 0.5 \\ 0 & 0 & 0 & 1 \\ 0 & 0 & 1 & 0 \end{pmatrix}$$



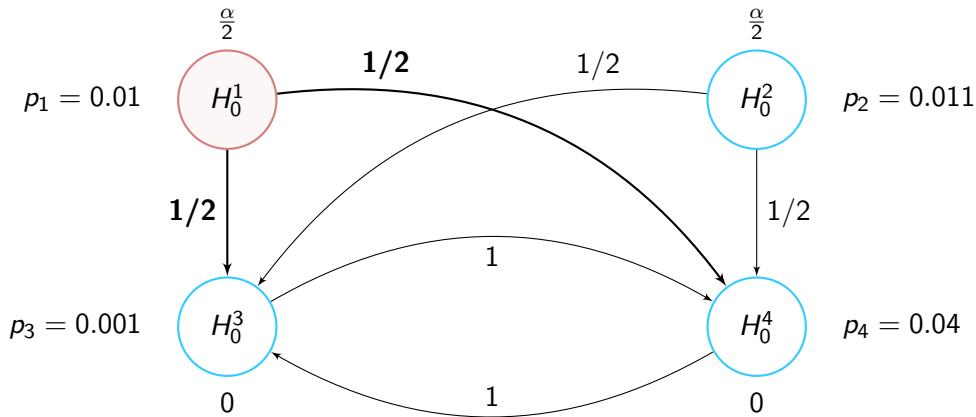
Paralleles Gatekeeping nach Dmitrienko et al. (2003); $\alpha = 0.025$



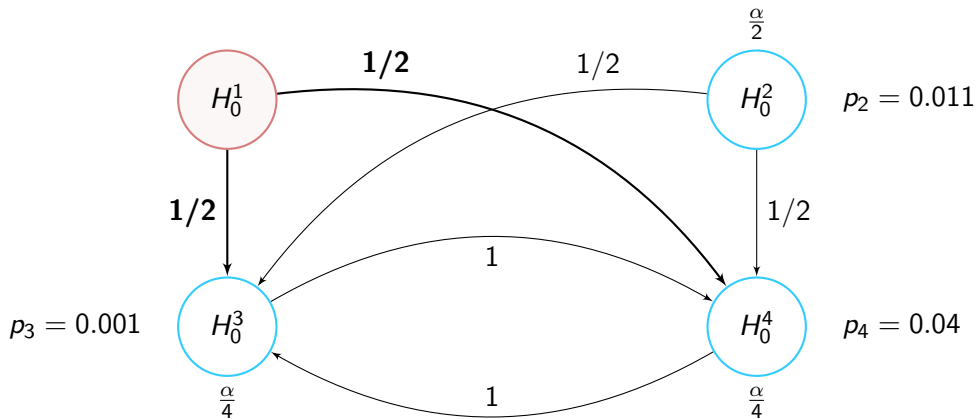
Paralleles Gatekeeping nach Dmitrienko et al. (2003); $\alpha = 0.025$



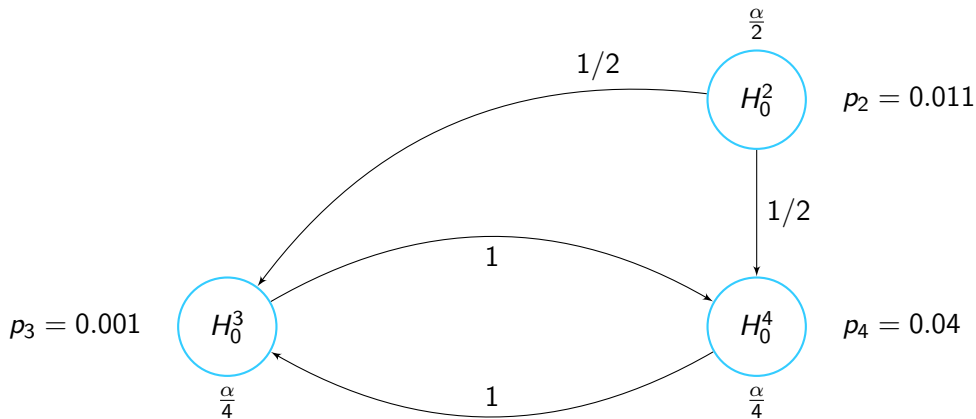
Paralleles Gatekeeping nach Dmitrienko et al. (2003); $\alpha = 0.025$



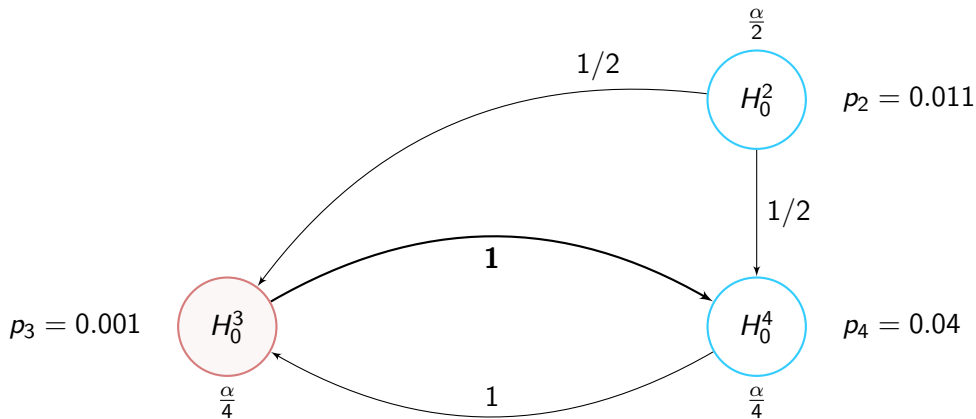
Paralleles Gatekeeping nach Dmitrienko et al. (2003); $\alpha = 0.025$



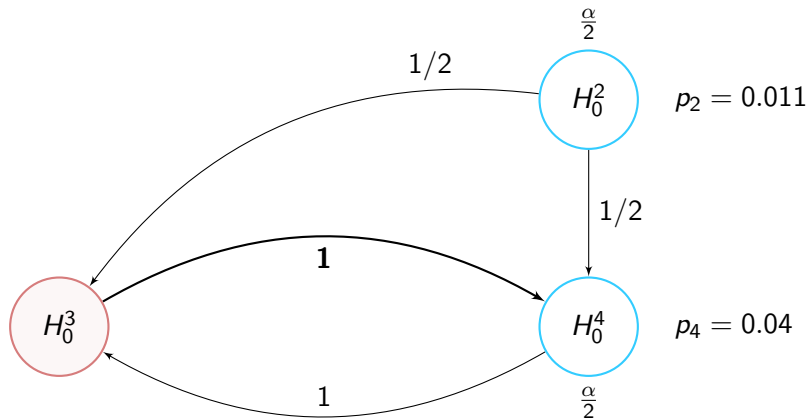
Paralleles Gatekeeping nach Dmitrienko et al. (2003); $\alpha = 0.025$



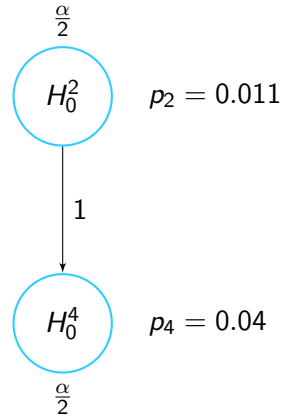
Paralleles Gatekeeping nach Dmitrienko et al. (2003); $\alpha = 0.025$



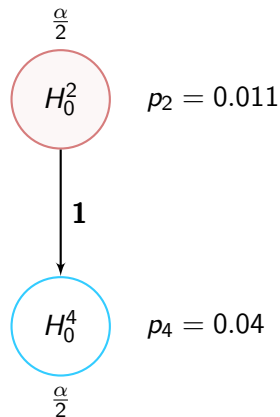
Paralleles Gatekeeping nach Dmitrienko et al. (2003); $\alpha = 0.025$



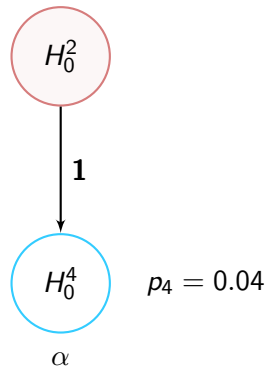
Paralleles Gatekeeping nach Dmitrienko et al. (2003); $\alpha = 0.025$



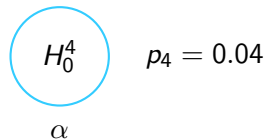
Paralleles Gatekeeping nach Dmitrienko et al. (2003); $\alpha = 0.025$



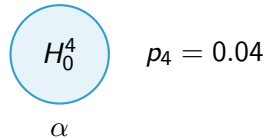
Paralleles Gatekeeping nach Dmitrienko et al. (2003); $\alpha = 0.025$



Paralleles Gatekeeping nach Dmitrienko et al. (2003); $\alpha = 0.025$

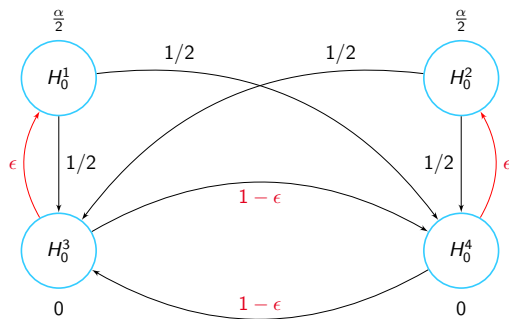

$$\begin{array}{c} H_0^4 \\ \alpha \end{array} \quad p_4 = 0.04$$

Paralleles Gatekeeping nach Dmitrienko et al. (2003); $\alpha = 0.025$


$$\begin{array}{c} H_0^4 \\ \alpha \end{array} \quad p_4 = 0.04$$

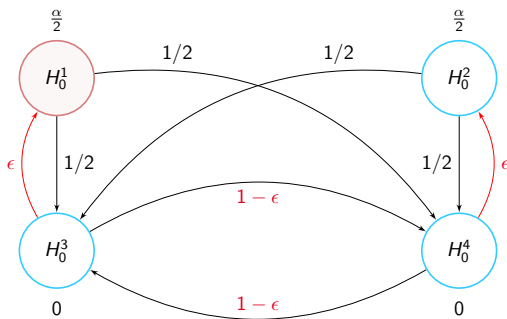
Verbessertes paralleles Gatekeeping (Hommel, Bretz & Maurer, 2007)

$$\alpha = \left(\frac{\alpha}{2}, \frac{\alpha}{2}, 0, 0 \right), \quad \mathbf{G} = \begin{pmatrix} 0 & 0 & 0.5 & 0.5 \\ 0 & 0 & 0.5 & 0.5 \\ \epsilon & 0 & 0 & 1 - \epsilon \\ 0 & \epsilon & 1 - \epsilon & 0 \end{pmatrix}$$



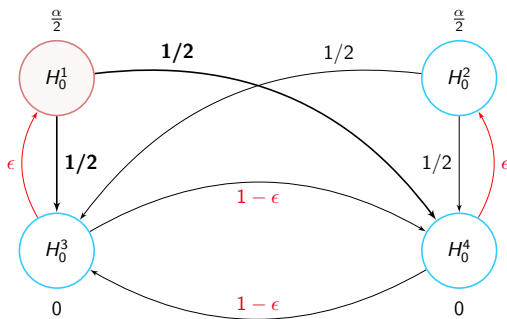
Verbessertes paralleles Gatekeeping (Hommel, Bretz & Maurer, 2007)

$$\alpha = \left(\frac{\alpha}{2}, \frac{\alpha}{2}, 0, 0 \right), \quad \mathbf{G} = \begin{pmatrix} 0 & 0 & 0.5 & 0.5 \\ 0 & 0 & 0.5 & 0.5 \\ \epsilon & 0 & 0 & 1 - \epsilon \\ 0 & \epsilon & 1 - \epsilon & 0 \end{pmatrix}$$



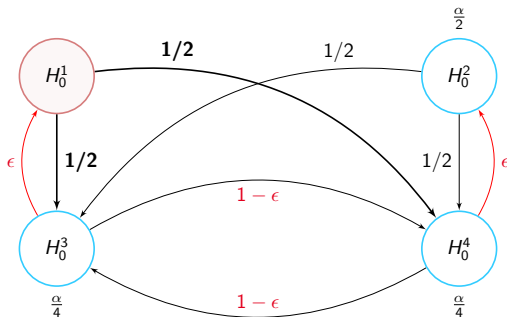
Verbessertes paralleles Gatekeeping (Hommel, Bretz & Maurer, 2007)

$$\alpha = \left(\frac{\alpha}{2}, \frac{\alpha}{2}, 0, 0 \right), \quad \mathbf{G} = \begin{pmatrix} 0 & 0 & 0.5 & 0.5 \\ 0 & 0 & 0.5 & 0.5 \\ \epsilon & 0 & 0 & 1 - \epsilon \\ 0 & \epsilon & 1 - \epsilon & 0 \end{pmatrix}$$



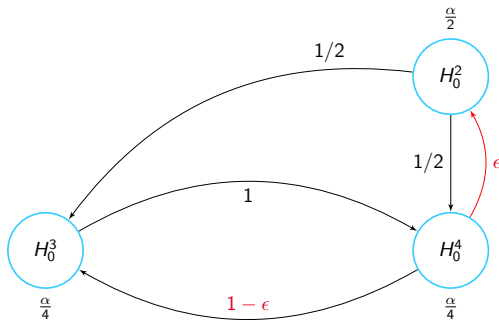
Verbessertes paralleles Gatekeeping (Hommel, Bretz & Maurer, 2007)

$$\alpha = \left(\frac{\alpha}{2}, \frac{\alpha}{2}, 0, 0 \right), \quad \mathbf{G} = \begin{pmatrix} 0 & 0 & 0.5 & 0.5 \\ 0 & 0 & 0.5 & 0.5 \\ \epsilon & 0 & 0 & 1 - \epsilon \\ 0 & \epsilon & 1 - \epsilon & 0 \end{pmatrix}$$



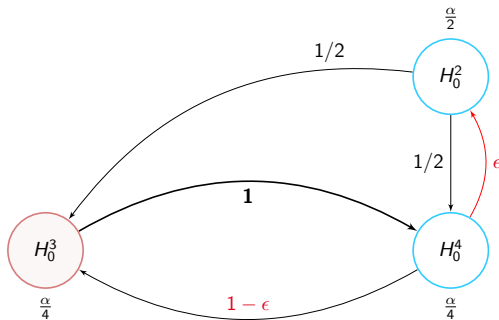
Verbessertes paralleles Gatekeeping (Hommel, Bretz & Maurer, 2007)

$$\alpha = \left(\frac{\alpha}{2}, \frac{\alpha}{2}, 0, 0 \right), \quad \mathbf{G} = \begin{pmatrix} 0 & 0 & 0.5 & 0.5 \\ 0 & 0 & 0.5 & 0.5 \\ \epsilon & 0 & 0 & 1 - \epsilon \\ 0 & \epsilon & 1 - \epsilon & 0 \end{pmatrix}$$



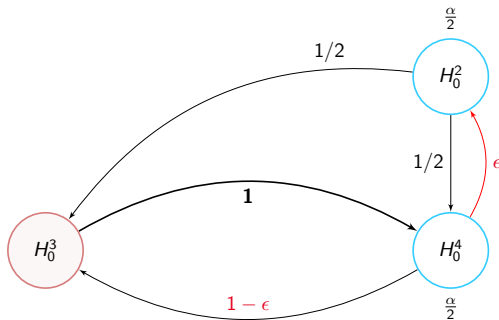
Verbessertes paralleles Gatekeeping (Hommel, Bretz & Maurer, 2007)

$$\alpha = \left(\frac{\alpha}{2}, \frac{\alpha}{2}, 0, 0 \right), \quad \mathbf{G} = \begin{pmatrix} 0 & 0 & 0.5 & 0.5 \\ 0 & 0 & 0.5 & 0.5 \\ \epsilon & 0 & 0 & 1 - \epsilon \\ 0 & \epsilon & 1 - \epsilon & 0 \end{pmatrix}$$



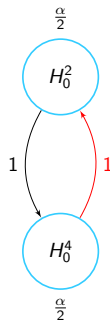
Verbessertes paralleles Gatekeeping (Hommel, Bretz & Maurer, 2007)

$$\alpha = \left(\frac{\alpha}{2}, \frac{\alpha}{2}, 0, 0 \right), \quad \mathbf{G} = \begin{pmatrix} 0 & 0 & 0.5 & 0.5 \\ 0 & 0 & 0.5 & 0.5 \\ \epsilon & 0 & 0 & 1 - \epsilon \\ 0 & \epsilon & 1 - \epsilon & 0 \end{pmatrix}$$



Verbessertes paralleles Gatekeeping (Hommel, Bretz & Maurer, 2007)

$$\alpha = \left(\frac{\alpha}{2}, \frac{\alpha}{2}, 0, 0 \right), \quad \mathbf{G} = \begin{pmatrix} 0 & 0 & 0.5 & 0.5 \\ 0 & 0 & 0.5 & 0.5 \\ \epsilon & 0 & 0 & 1 - \epsilon \\ 0 & \epsilon & 1 - \epsilon & 0 \end{pmatrix}$$



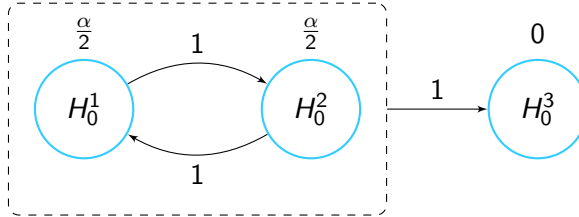
Wann ist der Graph vollständig und kann nicht verbessert werden?

Ein hinreichende Bedingung für Vollständigkeit ist:

- die Gewichte aller ausgehenden Pfeile einer Hypothese summieren sich auf 1 und
- jede Hypothesen ist von jeder aus erreichbar.

Wenn $\alpha_i > 0$ für alle $i = 1, \dots, h$, dann ist das auch eine notwendige Bedingung.

Signifikanzniveauverschiebung zwischen Familien von Hypothesen

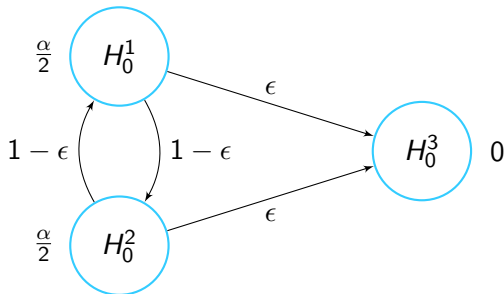


Teststrategie

- H_0^1, H_0^2 werden mit Bonferroni-Holm getestet
- H_0^3 wird nur dann (zum Niveau α) getestet, wenn H_0^1 **und** H_0^2 verworfen werden

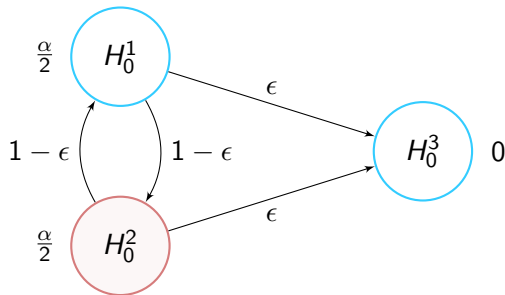
Signifikanzniveauverschiebung zwischen Familien von Hypothesen

$$\alpha = \left(\frac{\alpha}{2}, \frac{\alpha}{2}, 0 \right), \quad \mathbf{G} = \begin{pmatrix} 0 & 1 - \epsilon & \epsilon \\ 1 - \epsilon & 0 & \epsilon \\ 0 & 0 & 0 \end{pmatrix}$$



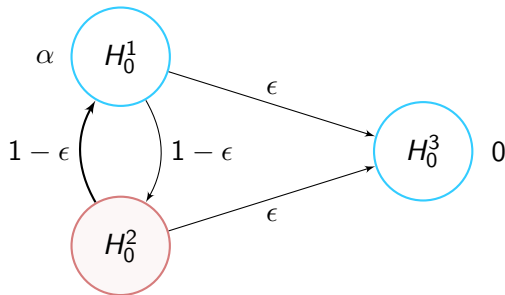
Wir lassen $\epsilon \rightarrow 0$.

Signifikanzniveauverschiebung zwischen Familien von Hypothesen



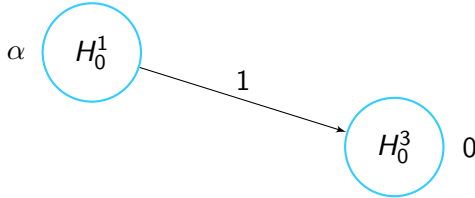
Wir lassen $\epsilon \rightarrow 0$.

Signifikanzniveauverschiebung zwischen Familien von Hypothesen



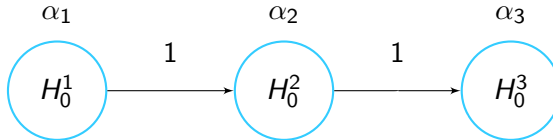
Wir lassen $\epsilon \rightarrow 0$.

Signifikanzniveauverschiebung zwischen Familien von Hypothesen



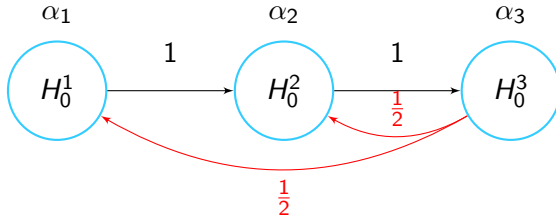
Erinnerung: Verbesserte Fallback Procedure (Wiens, 2003)

$$\alpha = (\alpha_1, \alpha_2, \alpha_3), \quad \mathbf{G} = \begin{pmatrix} 0 & 1 & 0 \\ 0 & 0 & 1 \\ 0 & 0 & 0 \end{pmatrix}$$



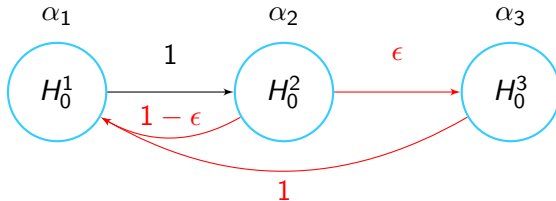
Erinnerung: Verbesserte Fallback Procedure (Wiens & Dmitrienko, 2005)

$$\alpha = (\alpha_1, \alpha_2, \alpha_3), \quad \mathbf{G} = \begin{pmatrix} 0 & 1 & 0 \\ 0 & 0 & 1 \\ \frac{1}{2} & \frac{1}{2} & 0 \end{pmatrix}$$



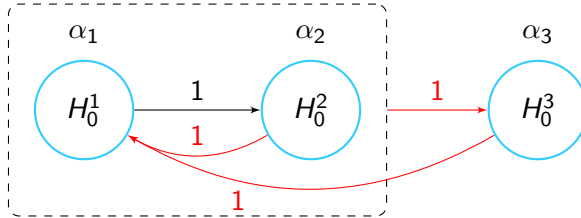
Eine andere Verbesserung der Fallback Procedure

$$\alpha = (\alpha_1, \alpha_2, \alpha_3), \quad \mathbf{G} = \begin{pmatrix} 0 & 1 & 0 \\ 1 - \epsilon & 0 & \epsilon \\ 1 & 0 & 0 \end{pmatrix}$$







Wenn $\epsilon \rightarrow 0$, dann ...

Eine andere Verbesserung der Fallback Procedure



Übung: Überlegen Sie sich, dass diese und die vorige Prozedur identisch sind.

Literatur zu graphischen Prozeduren

-  F. Bretz, W. Maurer, W. Brannath, and M. Posch.
A graphical approach to sequentially rejective multiple test procedures.
Statistics in Medicine, 28:586–604, 2008.
-  F. Bretz, W. Maurer, and G. Hommel.
Test and power considerations for multiple endpoint analyses using sequentially rejective graphical procedures.
Statistics in Medicine, 30:1489–1501, 2011.
-  W. Maurer, E. Glimm, and F. Bretz.
Multiple and repeated testing of primary, coprimary, and secondary hypotheses.
Statistics in Biopharmaceutical Research, 3(2): 336–352, 2011.
-  F. Bretz, M. Posch, E. Glimm, F. Klinglmueller, W. Maurer, and K. Rohmeyer.
Graphical approaches for multiple endpoint problems using weighted Bonferroni, Simes or parametric tests.
Biometrical Journal, 6:894–913, 2011